



Campus Virtual FCEFyN
Universidad Nacional de Córdoba

TRANSFORMADOR REAL

ELECTROTECNIA(IE)



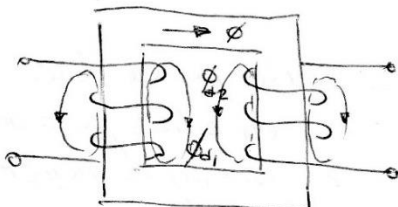
Transformador Real

9

Ningún proceso de conversión de la energía puede tener lugar sin las pérdidas concomitantes, en otras palabras la salida de energía en una forma es siempre menor que la entrada de energía en la otra forma.

Cuando analizamos el comportamiento en el transformador ideal una de las hipótesis que habíamos establecido era que la resistencia Ohmica de los conductores era nula, pero en realidad no se tiene ningún conductor perfecto, de manera que en un transformador real el circuito eléctrico primario ofrecerá una cierta resistencia que la tendremos en cuenta mediante una resistencia ohmica concentrada que tendrá un valor tal que el efecto Joule producido en la misma represente exactamente la energía que se transforma en calor al circular la corriente a través del bobinado Primario. Entonces a partir de los bornes de en la conectamos una resistencia en serie que tendrá en cuenta esa parte de energía entregada por el generador que se transforma en calor, como una reducción del voltaje que va a ser transferido al resto del circuito.

Otra hipótesis que consideramos, era que el flujo de dispersión es nulo, es decir que el campo magnético creado por la FMM, cuando circula por la bobina primaria a través de los N_1 espíhos, se hallaba localizado íntegramente dentro del núcleo ferromagnético que encuadreba a esas líneas de flujo de manera que conectaba al amperimetro Secundario.



Φ : Flujo Común

Φ_1 : Flujo Primario Φ_2 : Flujo Sec.

existen líneas de campo que se van a cerrar
y representa una cierta Φ_d a través del aire y lo denominamos Φ_d

Volumen que proviene del generador y no se va a transformar al bobinado.

$$\Phi_1 = \Phi + \Phi_d, \quad y \quad \Phi_2 = \Phi + \Phi_d$$

En la práctica eso no sucede así porque las espiras están enrolladas sobre el núcleo y aislan los del mismo, así es que Siempre en he el conductor común

y el núcleo que da un espacio libre, luego

existe un flujo disperso Φ_d que se va a cerrar

a través del aire y lo denominamos Φ_d

Contribución de energía por unidad de

volumen que proviene del generador y no se va a transformar al bobinado.

Cuando la corriente crece ese almacenamiento de energía en líneas de flujo que se cierran en el aire va aumentando y cuando la corriente decrece esa energía se devuelta al circuito pero el juego de energía queda entre el campo magnético y el generador. Conectado en el primario y no contribuye al funcionamiento útil del transformador.

Como el flujo disperso Φ_d es variable, da lugar a una fem inducida que vendrá determinada por la expresión

$$fem = -N \cdot \frac{d\Phi_d}{dt}$$

Dado que el Φ_d se cierra a través de un circuito de reluctancia prácticamente constante (aire, conductores, aislante) será conveniente materializar este efecto por una bobina ficticia de coeficiente de autoinducción L_d de valor

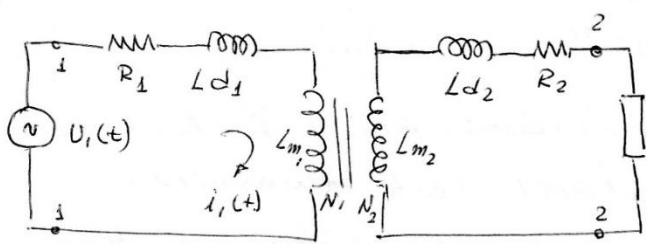
$$L_d = N \cdot \frac{d\Phi_d}{di}$$

expresión

$$\text{que se obtiene de } -L_d \frac{di}{dt} = -N \frac{d\Phi_d}{dt}.$$

Entonces esa pérdida de energía debido a la reluctancia de Φ_d la tenemos en cuenta conectando en serie una inductancia L_d , llamada de dispersión primaria.

Después de haber explicado los dos fenómenos anteriores, si representamos el acoplamiento magnético del bobinado primario de N_1 espiras con el bobinado secundario de N_2 espiras a través del material ferromagnético, el anillo magnético del primario que dará parcialmente idealizado por qué sería un bobinado sin resistencia y sin dispersión. En el secundario hacemos prácticamente lo mismo, representando mediante los elementos concentrados, la resistencia ohmica y la inductancia de dispersión del bob. secundario.



Al poner fuera los elementos R_1 , Ld_1 , R_2 y Ld_2 estamos representando un dispositivo parcialmente ideal puesto que cumplen con algunas de las hipótesis, pero nos valdremos de este circuito para plantear las ecuaciones básicas de equilibrio del transformador.

Ecuación de la malla Primaria

Aplicando el 2º principio de Kirchhoff a la malla primaria

$$U_1(t) - Ld_1 \cdot \frac{di_1(t)}{dt} - N_1 \frac{d\Phi(t)}{dt} = R_1 \cdot i_1(t)$$

Cuando circula la corriente $i_1(t)$ sinusoidal se produce una f.c.e.m. $= -Ld_1 \cdot \frac{di_1(t)}{dt}$ debido a la presencia de la autoinducción Ld_1 .

El establecimiento del flujo $\Phi(t)$ que es variable en el tiempo de lugar a una tensión inducida en las espiras del amoldamiento primario $N_1 \frac{d\Phi(t)}{dt}$

Como todas las magnitudes son alternas sinusoidales por serlo la fuente de tensión $U_1(t)$ podemos usar el método Simbólico.

$$U_1(t) = \sqrt{2} \cdot U_1 \cdot \sin \omega t = \sqrt{2} \cdot U_1 \cdot e^{j\omega t}$$

$$i_1(t) = \sqrt{2} \cdot I_1 \cdot \sin \omega t = \sqrt{2} \cdot I_1 \cdot e^{j\omega t}$$

Podemos escribir las ecuaciones de equilibrio usando solo valores eficaces.

$$U_1 - j\omega Ld_1 \cdot I_1 - j\omega N_1 \cdot \Phi = R_1 \cdot I_1$$

$$\boxed{U_1 = R_1 \cdot I_1 + j\omega Ld_1 \cdot I_1 + j\omega N_1 \cdot \Phi} \quad (A)$$

Ecación de la malla Secundaria

12

En este malla no hay generadores, pero el Φ flujo variable induce una tensión en el anollamiento secundario.

La corriente variable $i_2(t)$ va a establecer una fcm en la bobina L_{d2} . Entonces tendremos

$$-N_2 \frac{d\Phi(t)}{dt} - L_{d2} \frac{di_2(t)}{dt} = R_2 i_2(t) + Z_c i_2(t)$$

El signo del primer término del primer miembro depende del sentido en que está hecho el anollamiento y puede tomarse como generador.

Utilizando el método Simbólico se tiene.

$$\boxed{-j\omega N_2 \Phi = R_2 I_2 + Z_c I_2 + j\omega L_{d2} I_2} \quad (B)$$

Ecación de la malla magnética

En el caso del transformador ideal, con $\mu = \infty$ y $R_c = 0$ se tenía que el Φ flujo creado por la FMM primaria era exactamente igual al Φ creado por la FMM secundaria, porque el núcleo no ofrecía ninguna oposición al establecimiento del flujo en el material. Pero en realidad en un transformador real la permeabilidad si bien es grande, no es infinita, y la reluctancia es pequeño pero no nula.

Si queremos establecer un Φ flujo creado por la FMM primaria para que actúe sobre el secundario, entonces una parte de esa FMM tendrá que gastarse una parte para vencer la reluctancia del circuito magnético. Al cerrarse el secundario la FMM tendrá que crear únicamente el flujo de reacción para vencer la acción motora.

$$\Phi_- = \Phi_1 + \Phi_2 \neq 0$$

$$\frac{FMM \text{ (Total)}}{R} = \frac{\pi N_1 I_1}{R} + \frac{\pi N_2 I_2}{R}$$

13

Para el caso ideal $R=0 \Rightarrow \Phi_T=0 \Rightarrow \Phi_1=-\Phi_2$

Para el caso real $\Phi_T = \Phi_1 + \Phi_2$ es finito porque se necesita vencer la reluctancia del núcleo, es decir se necesita gastar parte de la FMM para vencer la reluctancia del núcleo y recién entonces establecer la vinculación entre el primario y secundario. En finces

$$\boxed{\Phi_T \cdot R = N_1 I_1 + N_2 I_2 = N_1 I_0} \quad (C)$$

Tiene la dimensión de una FMM y se la llama FMM de magnetización del núcleo.

I_0 es la corriente de excitación del núcleo.

Esta expresión nos indica que el transformador es una máquina que opera a flujo constante, cualquiera sea su estado de carga

Las ecuaciones A, B y C son las ecuaciones básicas de equilibrio del transformador y para interpretar lo que encierran las mismas, se construye el diagrama vectorial ya que todos los magnitudes que intervienen son alternas y de la misma frecuencia.

$$I_1 + \frac{N_2}{N_1} I_2 = I_0 \Rightarrow \boxed{I_1 = I_0 - \frac{I_2}{K}} \quad \text{con } K = \frac{N_1}{N_2}$$

Diagrama Vectorial

13'

Todas las magnitudes a las que hasta ahora nos hemos referido son periódicas y se pueden representar por fasores. El hecho de que las variables estén vinculadas linealmente nos dice: que una vez construido el diagrama, si se varía la tensión del generador, todas las cantidades en el interior variarán proporcionalmente.

El diagrama aumentará o disminuirá de tamaño pero siempre será se mejante. Si sevaría el instante en que se observa, podría estar más rotado para uno u otro lado pero sera se mejante en su forma.

Observando las ecuaciones vemos que la variable con la cual nos conviene comenzar la construcción del diagrama es el flujo Φ , pues es la magnitud fotorial que aparece como nexo entre las tres ecuaciones de equilibrio.

Comenzaremos por la ecuación de la malla del circuito porque es en ella que tenemos solamente los fasores de magnitudes eléctricas y magnéticas que

son la corriente secundaria y del flujo. Son la corriente secundaria y en una dirección. Elegimos un punto O de origen y en una dirección cuálquiera representamos el flujo Φ a escala y en fase con el, la corriente magnetizante que lo provoca. Luego determinamos la tensión E_2 que es la fem medida a los bornes del secundario $E_2 = -j\omega N_2 \Phi$ que será un flector que está atrasado 90° con respecto a Φ y su magnitud estará en la escala de tensiones.

A partir de $\Phi [Maxwell] = 8.000 \text{ Gauss} \times \text{Superficie Núcleo}$ obtenemos $\Phi N_2 \omega$ que expresa una tensión en unidades electromagnéticas. Si multiplicamos esta expresión por $10^{-8}/0$ tendremos en Voltios. Se elige una escala de tensiones, y luego el resultado obtenido llevado a la escala elegida nos dará la magnitud E_2 . Para representar cuálquier otra tensión tendremos que utilizar la misma escala de tensión elegida.

La impedancia de Carga es $Z_C = R_C + j X_C$ 14

La impedancia Total del Secundario

$$Z_2 = R_2 + j \omega L_{d2} + R_C + j X_C$$

Si queremos ubicar la Corriente I_2 en el diagrama vemos que el elemento que vincula E_2 con I_2 es $Z_2 = |Z_2| e^{j\varphi_2}$ donde $|Z_2| = \sqrt{(R_2 + R_C)^2 + (\omega L_{d2} + X_C)^2}$

$$\text{y } Z_2 = f_g^{-1} \frac{\omega L_{d2} + X_C}{R_2 + R_C}$$

Teniendo estos dos elementos podemos determinar $I_2 = \frac{E_2}{Z_2}$. El signo del argumento de la impedancia nos determinará si la Corriente está en adelanto o fase o atraso respecto a la tensión.

El valor absoluto nos dará la magnitud del atraso o adelanto, entonces obtendremos la dirección de I_2 .

$$\text{Para hallar el módulo de } I_2 \quad |I_2| = \frac{|E_2|}{|Z_2|}$$

Con este valor, previo fijar una escala para las Corrientes llevamos a escala el valor obtenido.

Teniendo los valores de los fasores Φ , E_2 , e I_2 para completar la representación fasorial de la 2º ecuación, debemos encontrar las caídas de potencial a travez de la Carga, en la parte resistiva del Secundario y a travez de la inductancia de dispersión del Secundario.

Con estos caídos de tensión nos permiten determinar el voltaje U_2 que se suministra en los bornes finales del dispositivo.

15

$$U_2 = Z_C I_2 = I_2 R_C + j X_C I_2$$

Como se observa en la expresión precedente, es la compuesta por una caída de tensión en la parte resistiva de la carga $I_2 R_2$ que está en fase con I_2 y otra caída de tensión que está en cuadratura con la corriente I_2 y estará 90° adelante si X_C es positivo o 90° en atraso si X_C es negativo.

Representando esas caídas, la suma nos dará U_2 . El argumento de la impedancia de carga $\phi_c = \tan^{-1} \frac{X_C}{R_C}$

El argumento de la caída de tensión U_2 , tenemos

A parte de la caída de tensión $R_C I_2$ debida a la resistencia del bobinado secundario que estará en fase con la corriente y $j \omega L_d I_2$, la caída debida a la dispersión del bobinado secundario que estará en cuadratura adelantada con respecto a la corriente.

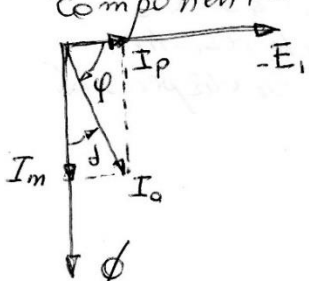
La suma de las tres caídas nos determina E_2 . La suma de las tres caídas nos determina E_2 .

Ahora representamos fasorialmente la tercera ecuación.

Conocido el flujo de excitación Φ y las características

del circuito magnético podemos determinar la corriente del circuito magnético.

En el diagrama fasorial vemos que la componente de vacío I_o es la suma fasorial de la componente de perdidas que está en fase con la tensión y la componente de magnetización que está en fase con el flujo y en cuadratura con la



Entonces, conociendo el módulo de I_o y ángulo ϕ a partir del flujo Φ y tangente en sentido positivo llevamos un vector I_o y tendremos la dirección de la corriente I_o de excitación.

Hallado su módulo, a escala lo llevamos 16
sobre dirección.

A partir de $N_1 I_0 = N_1 I_1 + N_2 I_2$ despejamos

$$I_1 = I_0 - \frac{I_2}{K}$$

El fasor $-\frac{I_2}{K}$ está en la misma dirección que I_2
pero está en sentido opuesto y además dividida por K .

La suma fasorial de estos dos componentes nos determina I_1 , que está desfasada casi 180° con respecto a I_2 debido a la existencia de I_0 .

Consideremos ahora la primera ecuación

$$U_1 = R_1 I_1 + j\omega L_{d1} I_1 + j\omega N_1 \emptyset$$

El fasor $-E_1 = j\omega N_1 \emptyset$ está adelantado 90° respecto al flujo \emptyset y su módulo se calcula multiplicando el flujo \emptyset expresado en Maxwelle por N_1 , por ω y por 10^{-8} para obtener la tensión expresada en Volt.

Afectando el valor obtenido por el factor de escala de Tensión y se lo lleva al diagrama fasorial.

Al Voltaje $-E_1$ le sumamos la caída $I_1 R_1$ que estará en fase con I_1 y luego la caída en la inductancia de dispersión primaria $j\omega L_{d1} I_1$, que estará 90° en adelanto con I_1 y obtenemos así U_1 . Con lo cual podemos disponer de U_1 , I_1 , $\cos \varphi_1$ que son las condiciones a las que debe funcionar el transformador.

